

VII-45

高濃度酸素水によるダム湖の水質改善に関する研究

岩手大学工学部 学生員 ○柳澤雄介
 岩手大学工学部 正会員 伊藤 歩 相沢治郎 海田輝之
 横河電機株式会社 川島 勇

1.はじめに

日本の多くのダム湖では、夏季に水温成層が生じる。底部付近に豊富に存在する有機物を分解するために酸素が消費されるが、成層化した表層水と深層水は混合されないので、底層は貧酸素状態となる。貧酸素状態では、底泥から栄養塩、有機物や金属などが溶出しやすくなる。本研究では、底層から湖水を汲み上げて、酸素溶解装置により強制的に酸素を高濃度に溶解させた後に、再び底層に吐出させるシステムを用いて底層のDOを回復させ、水質の改善効果を検討することを目的とした。

2.調査地点及び調査方法

調査対象とするダムは、岩手県大船渡市三陸町にある総貯水容量486,000m³の多目的ダムの綾里川ダムである。調査期間は平成16年8月25日から平成16年12月2日で、この間に計9回の調査を行った。水質改善のために今回使用した装置は、圧力スイング吸着(Pressure Swing Adsorption;PSA)法を使用した酸素発生装置、気体溶解装置から構成されている。高濃度酸素水の吐出口の形状は、送水用のパイプに金属製の円盤を垂直に組み合わせたものであり、放射状に酸素水が放出される。本研究での調査地点の概略を図-1に示す。堤体から19m地点の底層の湖水を汲み上げ、高圧の状態で酸素を溶解させ、高濃度(DOが30mg/l前後)の酸素水を流量約47L/minで堤体から55m地点の底層に再び戻した。調査地点は、堤体から35、95、145mの地点をそれぞれA,B,Cとした。各地点において、底部から0.5、1.0、2.0、3.0、5.0、10.0、15.0、20.0m、湖面から0.5m地点の湖水を採取した(ただし、B,C地点では15、20m地点を省いた)。現地では、上記採水地点の水温、DO、pH、ORP、ECを測定した(ただし、底部から0.5m地点では水温とDOのみを測定した)。また、採水した試料を持ち帰り、T-Mn、溶解性Mn、T-Fe、溶解性Fe、T-N、NH₄-N、NO₃-N、NO₂-N、T-P、PO₄-Pを測定した。なお、調査最終日には鉛直方向の混合が生じており、特にC地点で顕著であった。

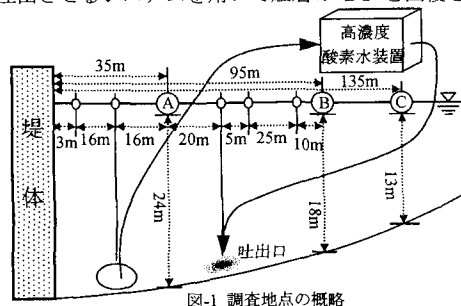


図-1 調査地点の概略

3.調査結果及び考察3.1 DO

図-2に装置運転開始0日目のA,B,C地点でのDOの鉛直分布を示す。各地点において、湖面から水深4m付近までのDOは約9mg/lで、水深4~10mの間でDOが急激に減少し、A,B地点の15m以深ではDOはほぼ0であり、硫化物臭を呈していた。C地点でも下層部は1mg/l以下であった。図-3にA地点でのDOの鉛直分布の経時変化を示す。装置運転開始5日目より、底部から2~3m付近でDOの上昇が見られ、その後徐々に増加していく、最終的に、底部から0.5m地点で3.3、2及び3m地点で9mg/l程度まで上昇した。底部から2~3m地点での増加が最も顕著で、底部から0.5,1m地点での増加は緩やかであった。これは、底泥の酸素消費の他に、返送水のわずかな水温の上昇のためと考えられる。なお、調査最終日でも、B,C地点の15m以深ではDOの回復は見られなかったが、堤体から3、19(汲み上げ口)、55(吐出口)、60、85m地点では底層でDOの上昇が見られ、底部から2、3m地点(水深23~24m)でDOが最大となった。これより、酸素水が吐出口からほぼ水平方向に広がっていたことがわかった。

3.2 ORP

図-4にA地点でのORPの鉛直分布の経日変化を示す。当初、底層部ではORPはマイナスで還元状態であったが、徐々に上昇し、プラス側に移行した。なお、B,C地点では調査期間中に還元状態が進行していた。

3.3 Mn及びFe

図-5に装置運転開始0日目のA,B,C地点での溶解性Mnの鉛直分布を示す。なお、全地点でT-Mnに対する溶解性Mnの比は約0.8~0.9であった。A,B,C各地点の底部から1m地点の濃度は、各々2.4、1.2、0.96mg/lであり高濃度であった。図-6に各地点の底部から3m地点の溶解性Mnの経日変化を示す。ここでは、装置運転開始15日前

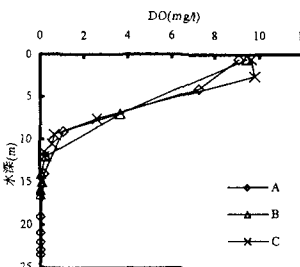


図-2 装置運転開始0日目のDOの鉛直分布

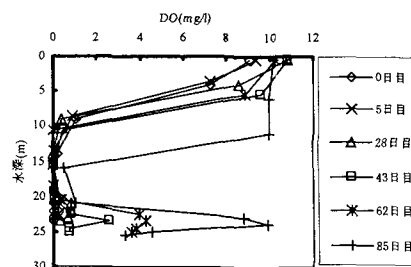


図-3 A 地点の DO の鉛直プロファイル / 経日変化

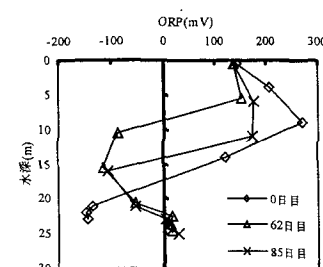


図-4 A 地点の ORP の鉛直分布の経日変化

と0日目の濃度の平均値を初期値 C_0 とし、 C_0 に対する比として示した。A,B,C各地点の C_0 は2.4、1.2、0.84mg/lであった。B,C地点では、濃度は緩やかに増加し、装置運転開始62日目で初期値の約1.7倍となった。一方、A地点ではほぼ横ばいで、装置運転開始85日目で約1.1倍となり、Mnの溶出がA地点では抑制されたことが分かった。なお、C地点の85日目で急激に濃度が低下しているが、これは鉛直方向の湖水の混合による希釈のためである。

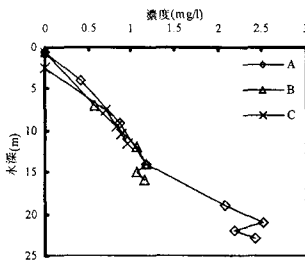


図-5 装置運転開始0日目の溶解性Mn

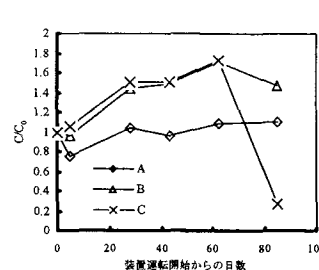


図-6 溶解性Mnの経日変化

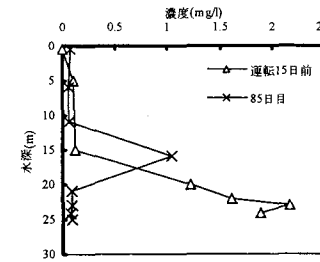


図-7 A地点の溶解性Feの鉛直分布

図-7にA地点の溶解性Feの鉛直分布を示す。装置運転開始15日前では、表層の3地点は約0.002~0.1mg/lであり、水深11m以深では、徐々に濃度が増加し、底部から2m地点で2.2mg/lであった。一方、装置運転開始85日目では、表層の3地点は約0.06mg/lとなり、底部から1、2、3、5m地点では約0.09mg/lとなった。表層での濃度変化はほとんどないが、底層では最大で約2mg/lと著しく減少した。なお、B,C地点ではこのような濃度の減少は全く見られなかった。

3.4 PO₄-P及びNH₄-N

図-8にA地点のPO₄-Pの鉛直分布を示す。底層の3地点において、装置運転開始0日目では0.035mg/l付近に分布しているが、9日目、43日目と時間が経過するにつれ濃度が大きく減少し、85日目では約0.005mg/lまで減少した。図-9にA,B,C地点での底部から3m地点のPO₄-Pの初期濃度に対する経日変化を示す。各地点の C_0 は0.034、0.0046、0.0032であった。装置運転開始からA地点の濃度は緩やかに減少していき、85日目では初期値の約0.13倍となった。一方、B地点では、装置運転開始9日目での濃度が初期値の2倍を超え、以後その水準が続いた。C地点では、装置運転開始から62日目で初期値の約1.5倍となった。底部から1.2m地点でも同様であった。前述したように、底層において溶解性Feが大きく減少したことから、PO₄-Pと溶解性Feが反応し、FePO₄として析出したと考えられる。また、Fe(OH)₃としても析出しているとも考えられる。

図-10にA,B,C地点での底部から3m地点の初期濃度に対するNH₄-Nの経時変化を示す。各地点の C_0 は0.47、0.21、0.16mg/lであった。各地点とも緩やかに増加しており、62日目ではB,C地点が2.1、1.6倍であるのに比べ、A地点では1.2倍と低かった。底部から1.2mでも同様な傾向が見られるので、A地点の底層ではNH₄-Nの増加が抑制されたといえる。なお、溶解性Mnでも見られたように、調査最終日では急激に濃度が低下していた。

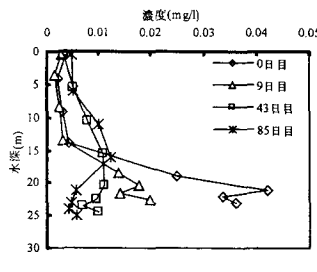


図-8 A地点PO₄-Pの鉛直分布の経日変化

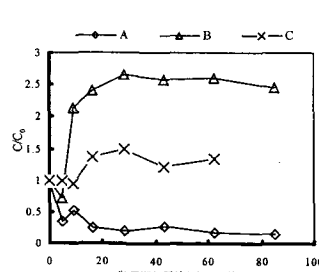


図-9 PO₄-Pの経日変化

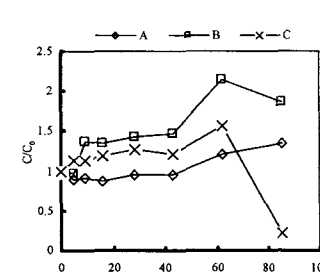


図-10 NH₄-Nの経日変化

4.まとめ

底層が貧酸素化したダム湖の底部に高濃度酸素水を供給することにより、底層部のDOが回復し、ORPを増加させることができた。さらに、溶解性Mnの溶出の抑制、溶解性FeとPO₄-Pの濃度を大幅に減少することができた。

参考文献

- 1) 地下水水質の基礎、日本地下水学科編、理工図書
- 2) Water Treatment Plant Design, ASCE&AWWA, McGraw Hill, 1990